

# Confinement of quarks (1974, Wilson)

quarkのconfinementをqualitativelyに説明したい。

⇒ 4d Euclidean spaceをdiscretizeしてlattice化させたtheoryを建て、strong-coupling limitでquarkがbindされていることを確かめる。

使っているのはAbelian lattice gauge theory (QED with strong coupling)

使っているfermionはquark

quantizationとしてはpath integral formalism

## Section II. Quark binding mechanism

★ Quark confinementの判断基準を建てたい。

→ 何がどんな形をしていたら, quarkがbindしていると言えるのか?

quark-antiquarkのloopをみる。→ current-current propagator

$$D_{\mu\nu}(x=0) = \langle S_0 | T J_\mu(x) J_\nu(0) | S_0 \rangle$$

all classical quark pathとall classical gauge field configurationに対して,  $e^{iS}$ を重みとしてaverage.

そこには  $\exp[ig \oint A_\mu(x) dx^\mu]$ もある。

→ first quantization...

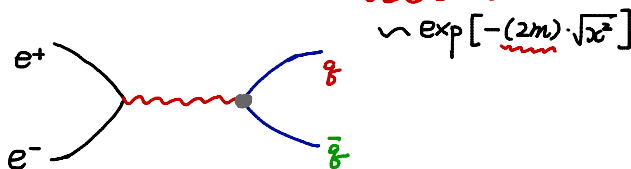
vacuum loopはimportantでないとは仮定。

large  $g \rightarrow$  small  $x$

large  $x \not\rightarrow$  small  $g$   $\because$  QED (or QCD) のみ考えられているから、ある程度は stable にいられる。  
(weak int. を考慮に 入っていない。)

large  $x$  の well-separated  $q-\bar{q}$  の有無

$\Rightarrow$  large  $x$  の  $e^+e^-$  annhl. の  $q-\bar{q}$  threshold の search のようなこと。



★ gauge field average の計算  $\rightarrow$  quark confinement の判断基準を建てるために。

$$\frac{\int DA \exp[i \int d^4y \frac{1}{2} A_\mu(y) (\partial^2 g^{\mu\nu} - \partial^\mu \partial^\nu) A_\nu(y) + i g \oint A_\mu(y) ds^\mu]}{\int DA \exp[i \int d^4y \frac{1}{2} A_\mu(y) (\partial^2 g^{\mu\nu} - \partial^\mu \partial^\nu) A_\nu(y)]}$$

$\Rightarrow$  いわゆる Wilson loop の vacuum expectation value.

completing the squares.

$$A_\mu(y) \rightarrow A'_\mu(y) = A_\mu(y) - i g \oint D_{\mu\alpha}(y-y') ds'^\alpha$$

$$(\partial^2 g^{\mu\nu} - \partial^\mu \partial^\nu) D_{\nu\rho}(y-y') = i g^\mu{}_\rho \delta^{(4)}(y-y')$$

$$\Rightarrow \exp[-g^2 \oint ds^\mu \oint ds'^\nu D_{\mu\nu}(y-y')]$$

# 1. four-dimensional (temporal + 3-spatial)

$$D_{\mu\nu}(y-y') = \int \frac{d^4k}{(2\pi)^4} \frac{-i g_{\mu\nu}}{k^2 + i\epsilon} e^{-ik \cdot (y-y')} \rightarrow [M]=2 \Rightarrow \sim \frac{g_{\mu\nu}}{(y-y')^2} \text{ 白の、らるまい。}$$

$y-y'$  large  $\rightarrow$  negligible  $\rightarrow y'$ が  $y$ の neighbourhood なら contribution 大。



$$-g^2 \int ds^\mu \int ds^\nu D_{\mu\nu}(y-y') \sim \int_0^P dy \int_0^P dy' \underbrace{H(y-y')}_{\text{tangent vector 間の角の information 有り。}} \frac{1}{(y-y')^2}$$

$$\begin{aligned} \sim \int_0^P dy \int_{y-\delta}^{y+\delta} dy' \cdot 1 \cdot \frac{1}{(y-y')^2} &= \int_0^P dy \left[ -\frac{1}{y-y'} \right]_{y-\delta}^{y+\delta} \\ &= \frac{2}{\delta} \int_0^P dy \approx \frac{2}{\delta} \cdot P \end{aligned}$$

(cutoff)

$$\therefore (\text{gauge field averaging @ 3-spatial dim}) \sim e^{-g^2 \frac{2}{\delta} P} \underset{(P \sim \sqrt{x^2})}{\sim} e^{-\frac{c \sqrt{x^2}}{\delta}} \xrightarrow{\text{threshold に contribute.}}$$

# 2. 2-dimensional (temporal + 1-spatial)

$$D_{\mu\nu}(y-y') \text{ の } [M]=0 \sim \eta_{\mu\nu} \log(y-y')^2$$

$y \neq y'$  が neighbour ではない  $\rightarrow$  large  $(y-y')$  に  $\exists$  ところがある。  $\rightarrow p^2$

$$(\text{gauge field averaging @ 2-dim}) \sim e^{-c' p^2} \sim e^{-\frac{c' P \cdot \sqrt{x^2}}{\delta}} \xrightarrow{\text{threshold に contribute.}}$$

large  $\alpha$  means large  $C'P$ . ( $\because P \sim \sqrt{\alpha^2}$ )

→  $\alpha$ が大きくなればなるほど、それに伴って  $q-\bar{q}$  threshold も一緒に大きくなる。

→ well-separated (or isolated)  $q$  や  $\bar{q}$  を見るためには large  $\alpha$  が 必要なのに、large  $\alpha$  になったら  $q-\bar{q}$  threshold も果てしなく大きくなるので、こういうことが起こるのは不可能。

$\therefore$  2-dim. space では quark の confinement あり。

$\exp[-C\sqrt{\alpha^2}]$  の 4-dim. ではこういうことが起こらない

$\Rightarrow$  free quark-antiquark があえるなら、その Wilson loop の vacuum expectation value は  $e^{-C'P}$  のようなふるまいをしているだろう。

まとめ: Quark binding mechanism

Wilson loop の vacuum expectation value が、

$\left\{ \begin{array}{l} e^{-C'P} \text{ のようなふるまいをしているなら、binding 無し (かもしれない)} \\ e^{-C'P^2} \text{ のようなふるまいをしているなら、binding 有り。} \end{array} \right.$

Lattice discretization をしてから、strong coupling approximation にて Wilson loop の vacuum expectation value を計算したら、 $\exp[-C'P^2]$  のようなふるまいをしていた!

$\Rightarrow$  (少なくとも strong coupling では confinement あり!)

### Section III. Lattice quantization of gauge fields

A Classical action on a lattice

$$\nabla_\mu \psi \rightarrow \frac{\psi_{n+\hat{\mu}} - \psi_{n-\hat{\mu}}}{2a}$$

$$\int d^4x \rightarrow a^4 \sum_n$$

gauge transformation on the lattice

$$\psi_n \rightarrow \psi'_n = e^{i\theta_n} \psi_n$$

$$\bar{\psi}_n \rightarrow \bar{\psi}'_n = \bar{\psi}_n e^{-i\theta_n}$$

$$A_{\eta\mu} \rightarrow A'_{\eta\mu} = A_{\eta\mu} - \frac{y_{n+\hat{\mu}} - y_n}{a}$$

fermionic part

$$A\psi = - \left( -a^3 \sum_n \sum_\mu \frac{1}{2} \bar{\psi}_n \gamma_\mu (\psi_{n+\hat{\mu}} - \psi_{n-\hat{\mu}}) + a^4 \sum_n m_0 \bar{\psi}_n \psi_n \right)$$

nearest-neighbour coupling  $\rightarrow$  ~~gauge inv.~~

$$\bar{\psi}_n \gamma_\mu \psi_{n+\hat{\mu}} \rightarrow \bar{\psi}_n \gamma_\mu \psi_{n+\hat{\mu}} e^{iagA_{\eta\mu}} \rightarrow U_\mu(n)$$

link variable

$$\bar{\psi}_n \gamma_\mu \psi_{n-\hat{\mu}} \rightarrow \bar{\psi}_{n+\hat{\mu}} \gamma_\mu \psi_n \rightarrow \bar{\psi}_{n+\hat{\mu}} \gamma_\mu \psi_n e^{-iagA_{\eta\mu}} \rightarrow U_\mu^\dagger(n)$$

It's gauge inv.

$$B_{\eta\mu} = agA_{\eta\mu} \rightarrow 2\pi \text{ periodicity.}$$

- Gauge field action.

field strength tensorのdiscretization

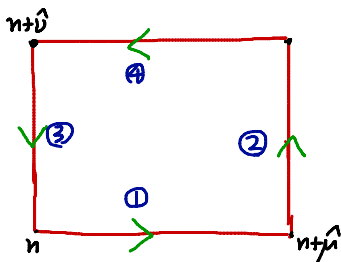
$$F_{\mu\nu}(x) \rightarrow F_{\eta\mu\nu}$$

$$f_{\eta\mu\nu} = a^2 g F_{\mu\nu} = B_{n+\hat{\mu},\nu} - B_{n\nu} - B_{n+\hat{\nu},\mu} + B_{n\mu}$$

$$\rightarrow B_{n\mu} + B_{n+\hat{\mu},\nu} - B_{n+\hat{\nu},\mu} - B_{n\nu}$$

$B_{\eta\mu}$ のperiodicityを保たせるactionを作りたい。→  $e^{iB_{\eta\mu}} e^{iB_{n+\hat{\mu},\nu}} e^{-iB_{n+\hat{\nu},\mu}} e^{-iB_{n\nu}}$

$$A_B = \frac{1}{2g^2} \sum_n \sum_\mu \sum_\nu e^{if_{\eta\mu\nu}} \xrightarrow{\text{continuum limit}} A_B \simeq a^4 \sum_n \left\{ -\frac{1}{4} (F_{\eta\mu\nu})^2 \right\}$$



full action (ただし,  $K = \frac{1}{2}a^3$ ,  $c = m_0 a^4$ )

$$A = - \left[ -K \sum_n \sum_\mu (\bar{\psi}_n \gamma_\mu \psi_{n+\hat{\mu}} e^{iB_{\eta\mu}} - \bar{\psi}_{n+\hat{\mu}} \gamma_\mu \psi_n e^{-iB_{\eta\mu}}) + c \sum_n \bar{\psi}_n \psi_n - \frac{1}{2g^2} \sum_n \sum_\mu \sum_\nu e^{if_{\eta\mu\nu}} \right]$$

## B. Quantization

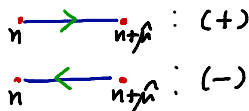
- path integral の lattice version を定義する。
- transfer matrix method で Hamiltonian を定義する。

fermion (grassman) はあててや, gauge field から

Wilson loop の vacuum expectation value から

$$\exp \left[ i g \oint_P A_\mu(x) dx^\mu \right] \rightarrow \exp \left[ i \sum_P (\pm) B_{\eta\mu} \right]$$

orientation



$$I(P) = \frac{(\prod_m \int_{-\pi}^{\pi} dB_{m\nu}) \exp \left[ i \sum_P (\pm) B_{\eta\mu} + \frac{1}{2g^2} \sum_{\eta\mu\nu} e^{if_{\eta\mu\nu}} \right]}{Z}$$

$$Z = (\prod_m \int_{-\pi}^{\pi} dB_{m\nu}) \exp \left[ \frac{1}{2g^2} \sum_{\eta\mu\nu} e^{if_{\eta\mu\nu}} \right]$$

gauge fixing は要らない。

c.f.) 計算の便利のために使うことはある。 → ex) maximal tree

- Hamiltonian の definition : transfer matrix method

time slice の設定 :  $-N \leq n_0 \leq N$  ( $2N+1$  個。)

$V$  は time slice ごと、3d-lattice の全 energy を与える matrix ( $V = e^{-aH}$ )

$$Z = \text{Tr} V^{2N+1} (= \langle n | V^{2N+1} | n \rangle) \rightarrow \text{energy eigenstate.}$$

$$V = V(B, B') - B \text{ \& } B' \text{ は adjacent time slice 同士. } (B = B_{n_0, 0}, B' = B_{n_0+1, 0})$$

-  $n_0$  から  $n_0+1$  まで time evolution を与える。

$$\left. \begin{array}{l} V(-N, -N+1) \\ \vdots \\ V(-1, 0) \\ V(0, 1) \\ V(1, 2) \\ \vdots \\ V(N, -N) \end{array} \right\} \rightarrow (2N+1) \text{ pairs}$$

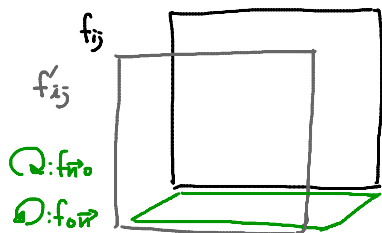
2つの  $V$  の multiplication には  $\prod_i \int_{-\pi}^{\pi} dB_{\vec{m}i}$  が necessary.

$$V(B, B') V(B', B'') = \prod_i \int_{-\pi}^{\pi} dB'_{\vec{m}i} \left( \prod_{\vec{m}} \int_{-\pi}^{\pi} dB_{\vec{m}0} e^U \right) \left( \prod_{\vec{m}} \int_{-\pi}^{\pi} dB'_{\vec{m}0} e^{U'} \right)$$

$$U = \frac{1}{4g^2} \sum_{\vec{m}} \sum_i \sum_j (e^{if_{\vec{m}ij}} + e^{if_{\vec{m}ji}}) + \frac{1}{2g^2} \sum_{\vec{m}} \sum_i (e^{if_{\vec{m}i0}} + e^{if_{\vec{m}0i}})$$

$$U' = \frac{1}{4g^2} \sum_{\vec{m}} \sum_i \sum_j (e^{if'_{\vec{m}ij}} + e^{if'_{\vec{m}ji}}) + \frac{1}{2g^2} \sum_{\vec{m}} \sum_i (e^{if'_{\vec{m}i0}} + e^{if'_{\vec{m}0i}})$$

$$U+U' = \frac{1}{4g^2} \sum_{\vec{m}} \sum_i \sum_j \left( \underbrace{e^{if_{\vec{m}ij}}}_{\text{blue}} + \underbrace{2e^{if_{\vec{m}ij}}}_{\substack{\text{red} \\ \downarrow \\ \prod_i \int_{-\pi}^{\pi} dB'_{\vec{m}i}}} + \underbrace{e^{if_{\vec{m}ij}}}_{\text{blue}} \right) + \frac{1}{2g^2} \sum_{\vec{m}} \sum_i \left( \underbrace{e^{if_{\vec{m}i0}} + e^{if'_{\vec{m}0i}}}_{\substack{\text{green} \\ \prod_{\vec{m}} \int_{-\pi}^{\pi} dB'_{\vec{m}0}}} + \underbrace{e^{if_{\vec{m}i0}} + e^{if_{\vec{m}0i}}}_{\substack{\text{green} \\ \prod_{\vec{m}} \int_{-\pi}^{\pi} dB_{\vec{m}0}}} \right)$$





c.f.)

$$U(N, -N) + U(-N, -N+1) = \frac{1}{4g^2} \sum_{i,j} \left( \underbrace{e^{i\vec{f}_{ij} \cdot (-N+1)}}_{\text{blue}} + \underbrace{2e^{i\vec{f}_{ij} \cdot (-N)}}_{\text{red}} + \underbrace{e^{i\vec{f}_{ij} \cdot (-N)}}_{\text{blue}} \right) + \frac{1}{2g^2} \sum_i \left( \underbrace{e^{i\vec{f}_{i0} \cdot (-N)}}_{\text{red}} + \underbrace{e^{i\vec{f}_{i0} \cdot (-N)}}_{\text{red}} + \underbrace{e^{i\vec{f}_{i0} \cdot (-N)}}_{\text{green}} + \underbrace{e^{i\vec{f}_{i0} \cdot (-N)}}_{\text{green}} \right)$$

$V$ : Hermitian matrix  $\rightarrow \mathbb{R}$  eigenvalue  $\rightarrow$  complete orthogonal eigenstate.

$$V|n\rangle = \lambda|n\rangle \quad V^{2N+1}|n\rangle = \lambda^{2N+1}|n\rangle$$

$V$ : ある time slice の 3d lattice 上の全 energy.

$V$  たちに関してはかけ算だったが, 全ての time slice の energy は足し合わせるべき。  $\Rightarrow$  logarithm.

$$\therefore E = -\underbrace{a^{-1} \log \lambda}_{\text{consideration for dimension.}} \Rightarrow V = e^{-aH}$$

• quark binding は Abelian でも説明可能  $\rightarrow$  ここでは Abelian のみ。

• grassmann integration: demand "translational invariance",

$$\langle \bar{\psi}_0 \psi_0 \bar{\psi}_1 \psi_1 \rangle = \int d\psi_1 d\bar{\psi}_1 d\psi_0 d\bar{\psi}_0 \bar{\psi}_0 \psi_0 \bar{\psi}_1 \psi_1 = 1 \quad \left( \int d\eta \cdot 1 = 0, \int d\eta \cdot \eta = 1 \right)$$

$$(\text{the others}) = 0$$

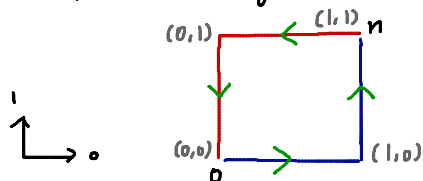
これは current-current propagator on the lattice

$$D_{\eta\mu\nu} = \frac{(\prod_{\mu} \int_{-\pi}^{\pi} dB_{\mu\nu}) \langle \bar{\psi}_\mu \gamma_\mu \psi_\mu \bar{\psi}_\nu \gamma_\nu \psi_\nu e^A \rangle}{\underbrace{(\prod_{\mu} \int_{-\pi}^{\pi} dB_{\mu\nu}) \langle e^A \rangle}_{= Z_{tot}}}$$

# K expansion (hopping parameter expansion)

→ どんな situation を計算したいか。

for simplicity, unit square で考えよう。



$$\text{quark} \cdot \exp \left[ K \sum_n \sum_\mu \bar{\psi}_n \gamma_\mu \psi_{n+\mu} e^{iB_{n,\mu}} \right] \rightarrow (K \bar{\psi}_0 \gamma_0 \psi_{10} e^{iB_{00,0}}) \times (K \bar{\psi}_{10} \gamma_1 \psi_{11} e^{iB_{10,1}})$$

$$\text{antiquark} \exp \left[ K \sum_n \sum_\mu (-) \bar{\psi}_{n+\mu} \gamma_\mu \psi_n e^{-iB_{n,\mu}} \right] \rightarrow (-K \bar{\psi}_{11} \gamma_0 \psi_{01} e^{-iB_{11,0}}) \times (-K \bar{\psi}_{01} \gamma_1 \psi_{00} e^{-iB_{00,1}})$$

unit square を作るにはこの4つが必要。

quark が,  $(0,0), (1,0), (1,1)$  に hop  
antiquark が,  $(0,0), (0,1), (1,1)$  に hop  
} Wilson line は, hop の足あと。

closed loop に左回ると, grassman integral bracket  $\langle \cdot \rangle$  は 0 に落ちる。 ( $\because \int d\psi = 0$ )

それゆえ, Wilson line も, Wilson loop に左回るを得ない。

gauge field path integral は, Wilson loop の vacuum exp. value の計算に左回っている。

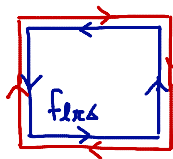
$e^{-c \sum_n \bar{\psi}_n \psi_n}$  で必要な order の term だけ取る!

## Section IV. Strong-coupling Approximation

- quark confinementの有無を調べる。 $(g \gg 1, \lambda \ll 1 \text{ に } \tau)$
- 判断の手段として、先ほど存在が確かめられた Wilson loopの vacuum expectation value を使う。
- その numerator ( $I_N(P)$ ) を、見てみる。

$$I_N(P) = \left( \prod_m \prod_\nu \int_{-\pi}^{\pi} dB_{m\nu} \right) \exp \left[ i \sum_P (\pm) B_{P\mu} + \frac{1}{2g^2} \sum_{\mu\nu} \underbrace{e^{if_{\mu\nu}}}_{\ll 1} \right]$$

- テストに zeroth order にしたら、Wilson loopの  $\exp(iB)$  たちのせいで 0 になっちゃった。
- first order にしたら、 $\sum_P (\pm) B_{P\mu} + f_{L\pi\Delta} = 0$  だったら nonzero contribution であるのがわかった。



→ Wilson loopが plquette の逆 orientation で plquette ひいたら良い。

- arbitrary Wilson loop を、 $k$ -th order で打ち消し合えよう。

$$I_N^{(k)}(P) = \frac{1}{k!} \left( \frac{1}{2g^2} \right)^k \left( \prod_m \prod_\nu \int_{-\pi}^{\pi} dB_{m\nu} \right) \sum_{\Delta_1, \pi_1, \Delta_1} \sum_{\Delta_k, \pi_k, \Delta_k} \exp \left[ i \sum_P (\pm) B_{P\mu} + i f_{\Delta_1, \pi_1, \Delta_1} + i f_{\Delta_k, \pi_k, \Delta_k} \right]$$

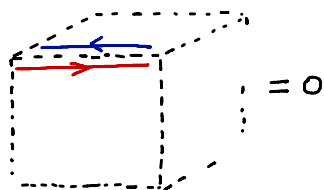
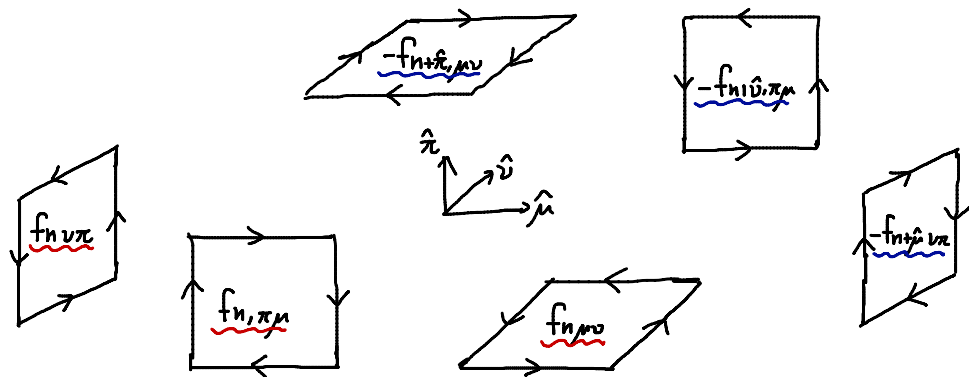
→ Wilson loop の enclosed area を plquette のタイルで詰めたようなこと。

$$(\text{タイルの個数}) = \frac{A}{a^2} (=k) \quad (A \text{ enclosed area})$$

$$I_N(P) \sim (g^{-2})^{\frac{A}{a^2}} = \exp \left[ - \left( \frac{\log g^2}{a^2} \right) \cdot A \right] \sim \exp \left[ - \left( \frac{2 \log g}{a^2} \right) P^2 \right] \Rightarrow \text{confinement あり!}$$

minimal enclosed area 以外にも nonzero contribution はある。

unit cube (lattice) の Bianchi identity で例えよう。



こういうのを用いて, higher-order の nonzero contribution も書かれる。⇒ complicate すぎる。

denominator  $Z$  も書くと,  $I(P)$  全体 (ratio) を考えなければいけない。